

京都大学工学部 正員 岩佐義朗  
 京都大学大学院 ○学生員 八束正司夫  
 京都大学大学院 学生員 寺田賢二

### 1. まえがき

海浜における温排水は、「表面拡散方式」によって主として環境水理的に取り扱われてきた。しかし、この方式では温排水が環境に及ぼす影響も大きく、温水を海水と混合希釈させる「水中強制拡散方式」の方が、より効果的である。そこで、本研究では、既報に引き続き Vertical Multi-Port Diffuser を用いた実験を行ない、水面での温水の希釈について考察した。一般に、温水放出後の領域を大別すると、① Near field, ② Transition field, ③ Far field となるが、①の領域では、主として希釈により、③では拡散と対流および大気中の放熱によって熱が放散される。また、②では主として乱流拡散により熱が分散される。ここでは、Near field における、希釈によって水温が減少する現象を中心に取り扱うこととする。

### 2. 実験装置および実験方法

本研究で用いた実験装置は、図-1 に示すように、直径 2m の円型水槽に一定の水深まで水を入れ、中心にしんちゅう製のミリニダーレを鉛直にとりつけ、温水を循環させる。ミリニダーレには、同一断面上に 8 方向にスロットがあけられていて、その大きさは、長さ 2cm、幅は、 $B=0.3\text{cm}$  と  $0.5\text{cm}$  の 2 種類がある。実験方法は、一様にかきまぜられた円型水槽内の Receiving Water 中へ、ミリニダーレで温水を循環させる。これにより、Diffuser から  $30^\circ\text{C} \sim 50^\circ\text{C}$  の温水を放出させ、あらかじめ中心から距離  $r$  ( $r/B = 40, 60, 80, 100, 160$ ) に設置したサーミスターで表面温度を測定し、記録した。

温水の放出後、約 2 分～5 分で、表面水温は一定になり、擬似定常状態に達すると(図-2 参照)実験を打ち切る。

### 3. 実験結果と解析

今まで行った実験は、Multi-Port Vertical Diffuser のうち、ハクツウの Single round port よりなりたっていったものであるが、今回は、round port の連続した究極のものとして Slot 状の場合をとりあげて、ある水深から放出された温水の、水面付近での希釈を考えていくことにした。

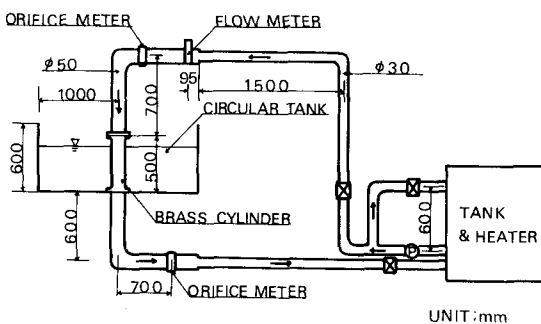


図-1

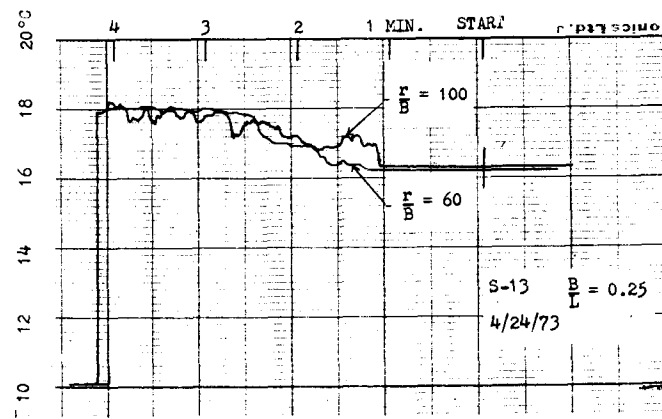


図-2

水面での、湯度の希釈度  $S_s$  を次のように定義する。

$$\begin{aligned} S_s &= \frac{T_h - T_r}{T_s - T_r} \\ &= f(Re, F_j, \gamma_B, \gamma_B, B/L, K_s, \rho_w) \end{aligned}$$

ここで、 $T_s$ : 表面近くでの水温(擬似定常状態に達した後),  $T_h$ : 放出湯水の温度,  $T_r$ : Receiving Water の初期温度,  $\rho$ :  $T_r$  の水の密度,  $\rho_w$ :  $T_h$  の水の密度,  $U_0$ : Slot からの見かけの流出速度,  $F_j = U_0 \sqrt{\rho_w / \rho}$ ,  $B$ : slot の幅,  $L$ : slot の長さ,  $y$ : slot の中心から水面までの距離,  $Re = U_0 B / \nu$ ,  $K_s$ : 放出湯水の動粘性係数,  $r$ : 円筒ミリニダからの距離,  $K_s$ : 热輸送係数,  $c$ : 水の比熱。

この関係式中, Reynolds 数はかなり大きく, かつ実験のいずれの場合も乱流ジェットであるので, はるかにこにし, また  $K_s$  は明確に測定されえず, また, Near field では, 水面からの歓放出は必ずり温度低減の大きさを因ではないのではあることにある。その結果, 次のようになる。

$$S_s = f(F_j, \gamma_B, \gamma_B, B/L)$$

ここでは,  $B/L = 0.15, 0.25$  の実験例をとりあげた。一般に, Multi-Port Diffuser では,  $nBL \leq \frac{\pi a^2}{4}$  ( $n$ : slot の数,  $a$ : シンジダーの内径) であることが必要である。やがて,  $B/L$  の値には限界があり,  $B/L \leq \frac{\pi a^2}{4L^2 n}$  となる。

図-3 は  $B/L = 0.15$  の例をとりあげているが,  $\gamma_B = 80 \sim 160$  においては, ほとんど,

位置に関係なく同じことがみられる。また, 図-4 の  $B/L = 0.25$  の場合,  $r/B = 40, 60, 80, 100, 120$  をとりあげてみると,  $\gamma_B/F_j$  の小さな ( $0.4 \sim 4$ ) では, 同じような  $\gamma_B/S_s$  の値をとるが,  $\gamma_B/F_j$  が大きくなると, すなわち, plume 単位に jet が近づくと, 水面近くでの mixing 作用が小さくなる傾向上,  $\gamma_B$  の値によって  $\gamma_B/S_s$  の値にかなりの差異がみられる。 $B/L = 0.15$  と  $B/L = 0.25$  は, どちらもどちらかとグラフ上で平行移動したら同じような結果を得る。やがて,  $B/L = 0.15 \sim 0.25$  の事例では, 大体この平行移動領域内に同じようなグラフを得るものと考えられる。その他, 3.3 条件を考慮しながら, Multi-Port Diffuser に関する研究を継続中である。

最後に, この実験研究に対して前京都大学研究室 1 人・アーノード・マニ氏の協力をえたことに感謝の意を表します。

参考文献 1) 岩佐・八木・加地 “噴水へ放出された熱水の希釈について”, 昭和48年関西支部年講.

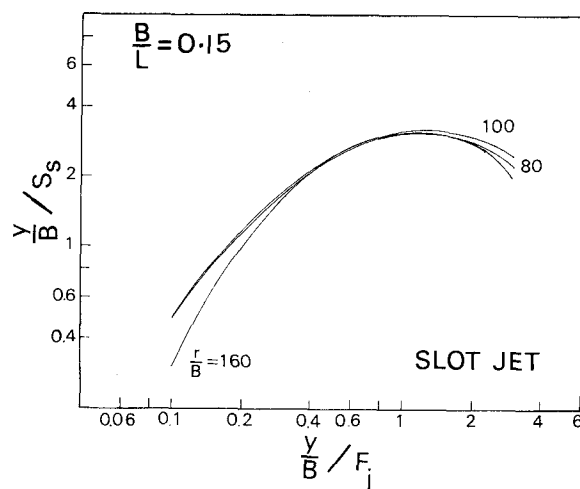


図-3

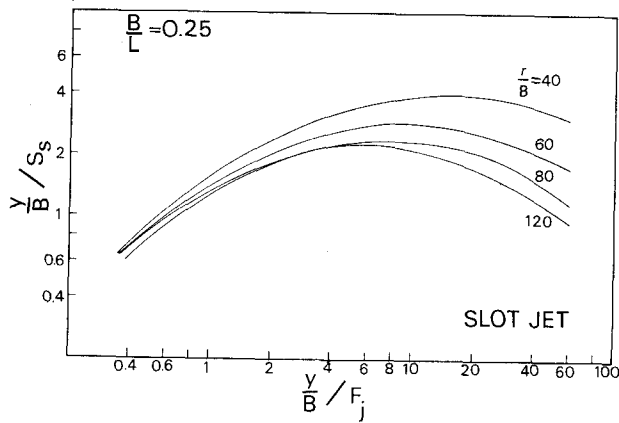


図-4